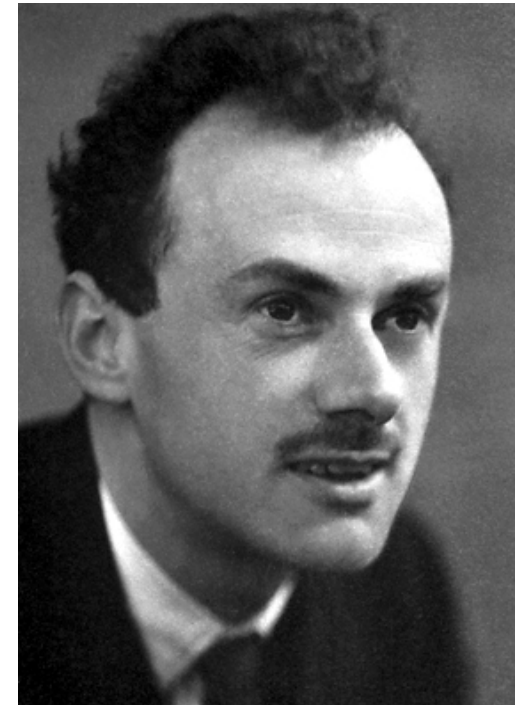


Pozitron – teoretická předpověď

Diracova rovnice:
$$\left(\boldsymbol{\alpha} \hat{\mathbf{p}} c + \beta mc^2\right) \psi(\mathbf{x}, t) = i\hbar \frac{\partial \psi(\mathbf{x}, t)}{\partial t}$$

- snaha popsat relativisticky pohyb elektronu
- řešení s negativní energií → vakuum je Diracovo moře elektronů
- pozitrony → díry ve vaku



Paul Adrien Maurice Dirac
1933 Nobelova cena

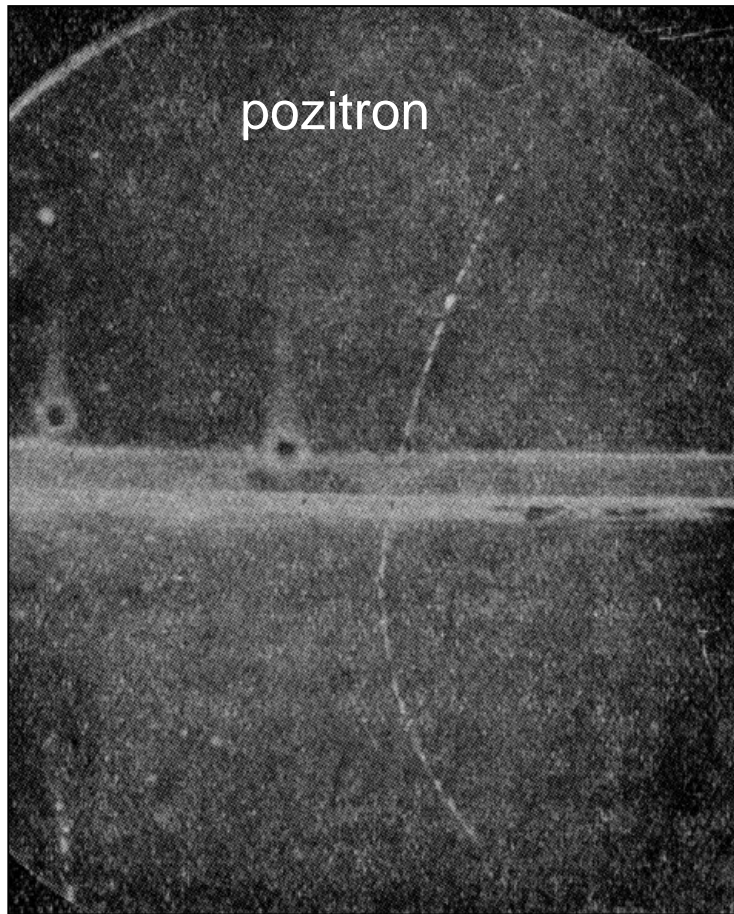
P.A.M. Dirac: The Quantum Theory of the Electron, Proc. R. Soc. Lond. A 117, 610-624 (1928)

P.A.M. Dirac: A Theory of Electrons and Protons, Proc. R. Soc. Lond. A 126, 360-365 (1930)

P.A.M. Dirac: Quantised Singularities in the Electromagnetic Field, Proc. R. Soc. Lond. A 133, 60-72 (1931)

Pozitron – experiment

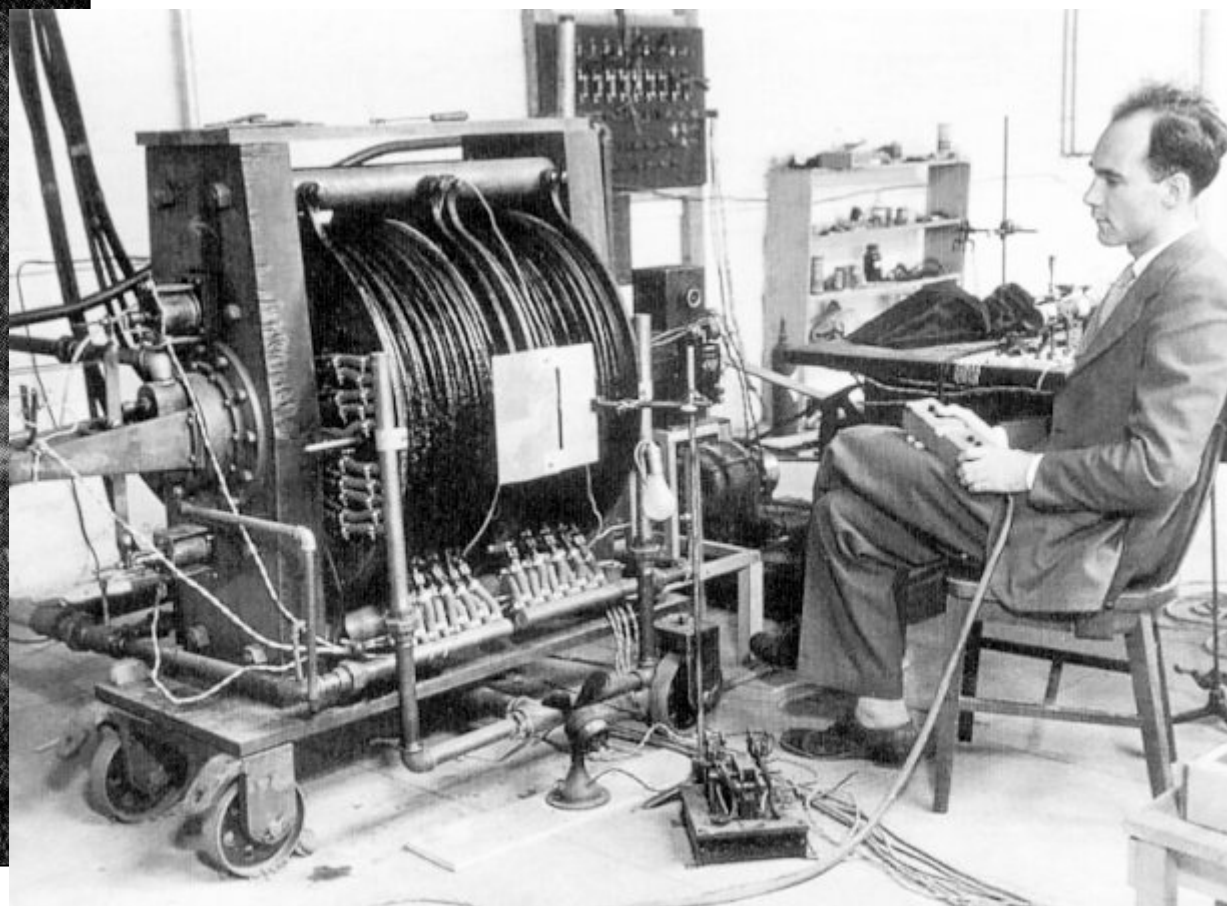
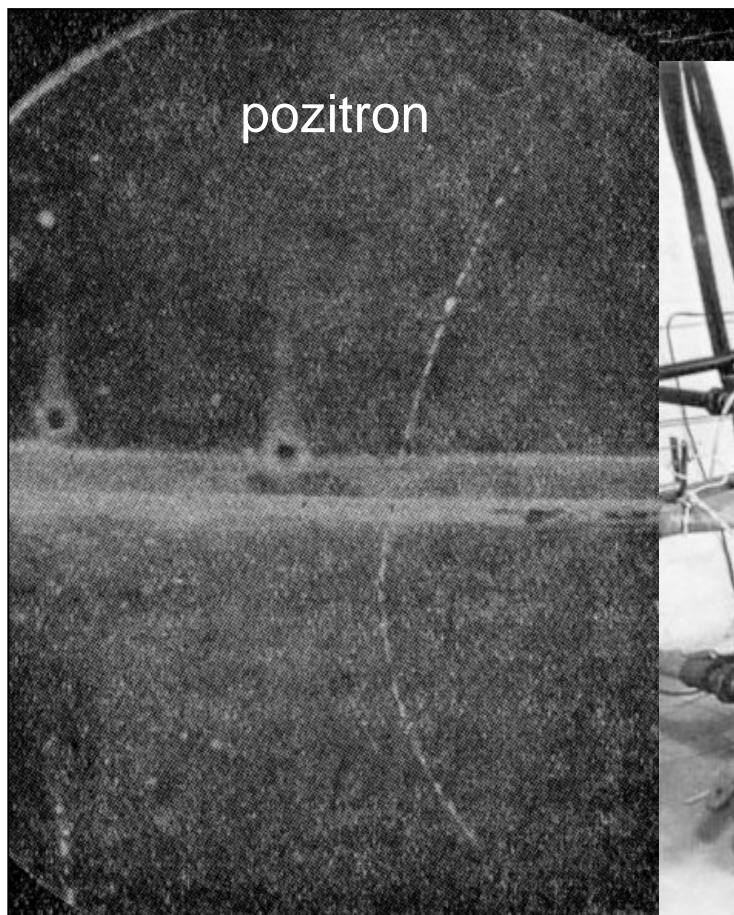
objev pozitronu 1932



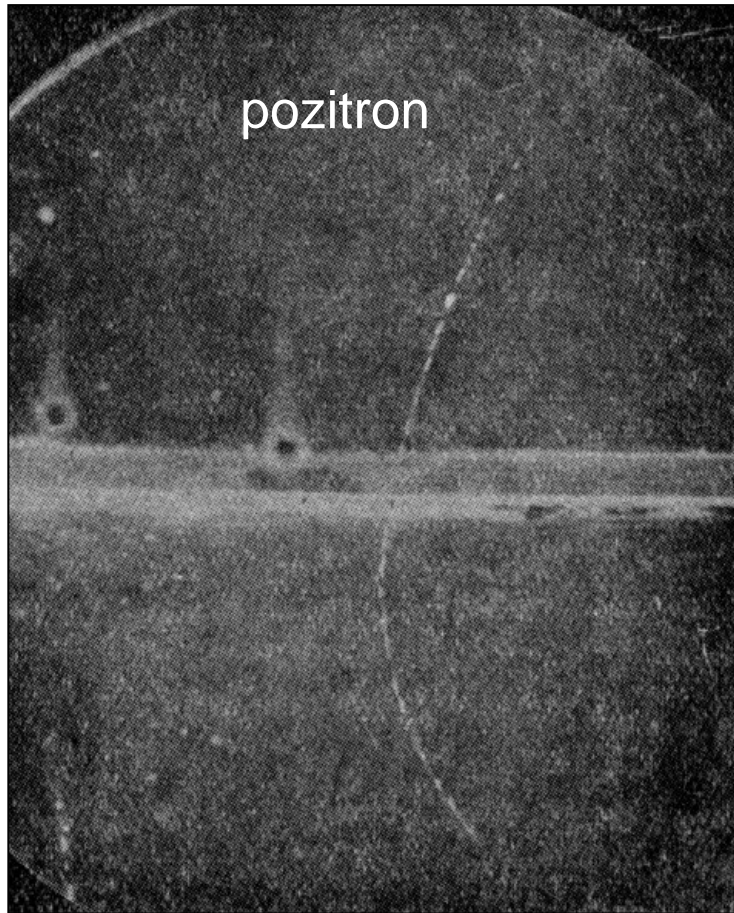
Carl David Anderson
1936 Nobelova cena

Pozitron - experiment

objev pozitronu 1932



Pozitron



pozitron = antičástice elektronu

- klidová hmotnost: m_e
- náboj: $+e$
- spin: $1/2$

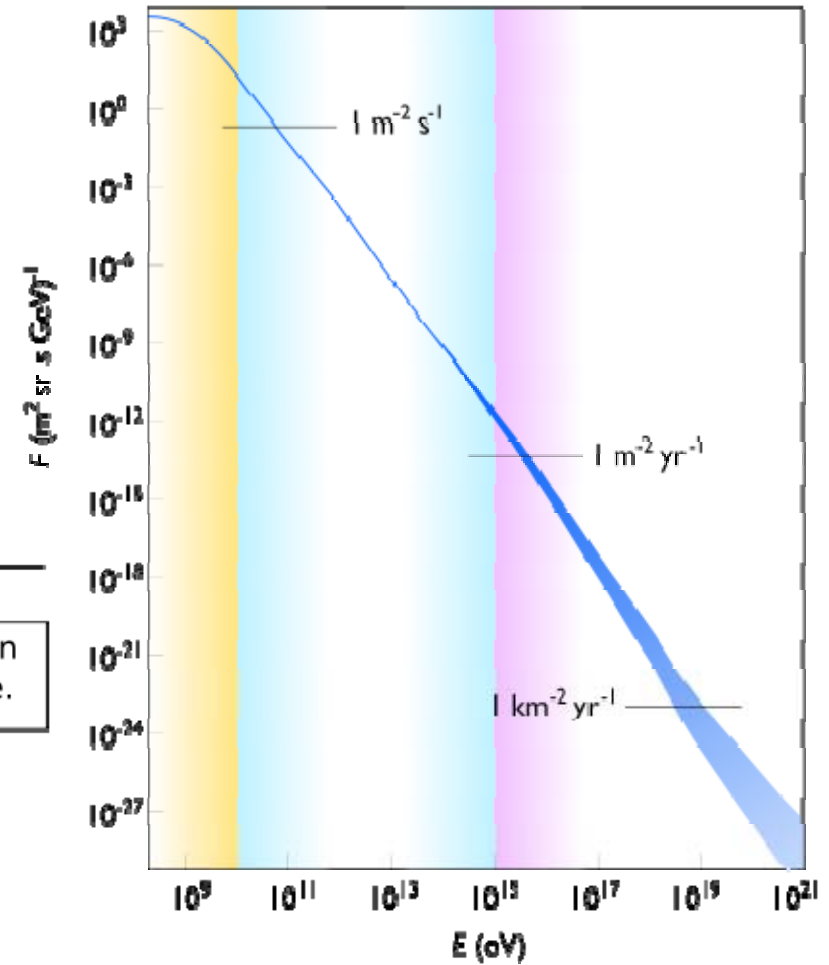
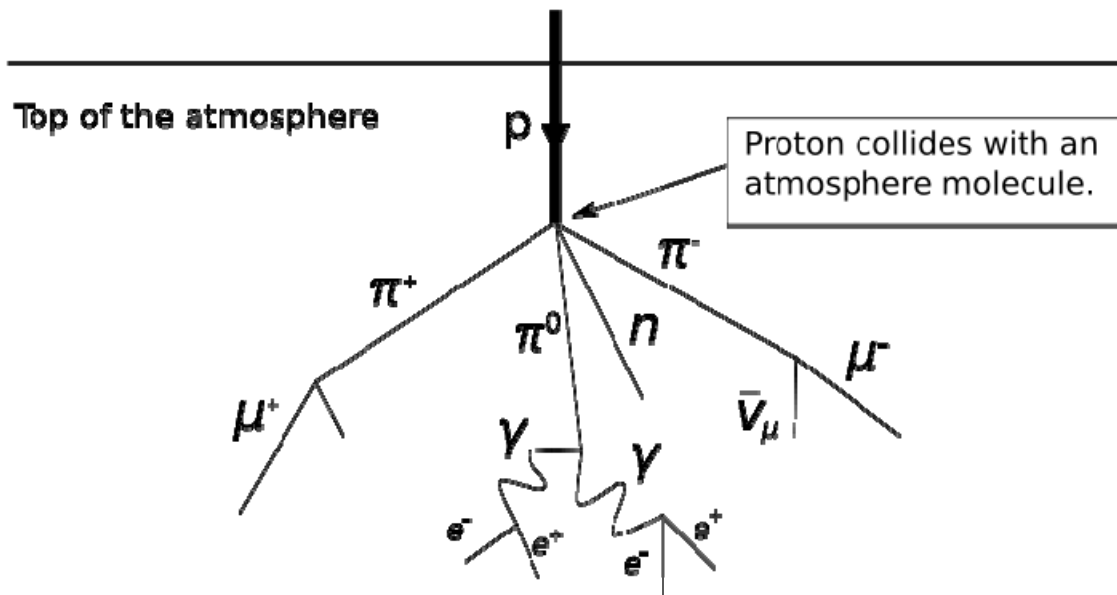
Zdroje pozitronů

kosmické záření

90 % protony

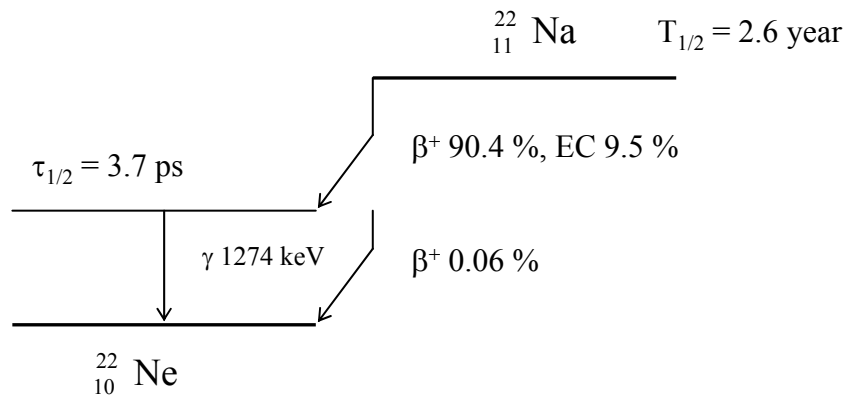
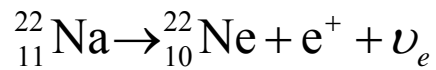
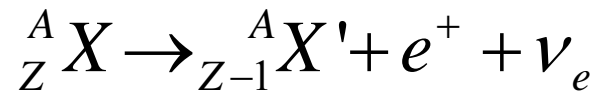
9 % α -částice

1 % elektrony (a ostatní částice e^+ , p^-)

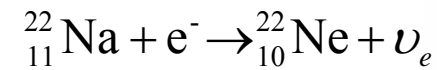
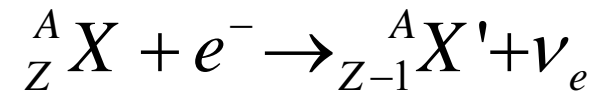


Zdroje pozitronů

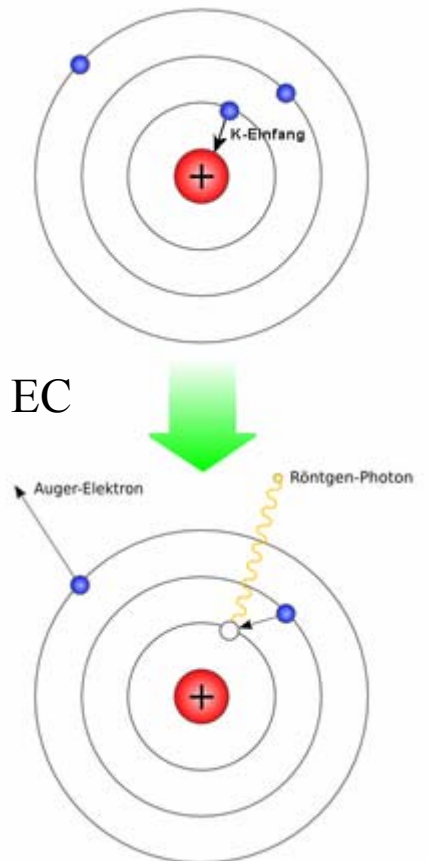
β^+ - rozpad



záchyt e^-



- pro $Q < 2m_e c^2$ pouze EC



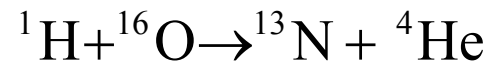
Zdroje pozitronů

β^+ - zářiče

- branching ratio (β^+ vs EC)
- E_{max} (tj. Q -value)
- poločas rozpadu $T_{1/2}$
- sekundární foton

Isotope	$T_{1/2}$	e^+ yield	E_{max} (MeV)	secondary γ	E_γ (MeV)
^{11}C	20.33 min	0.98	0.45	0	-
^{13}N	9.96 min	1	1.20	0	-
^{15}O	123 s	1	1.74	0	-
^{18}F	110 min	0.97	0.64	0	-

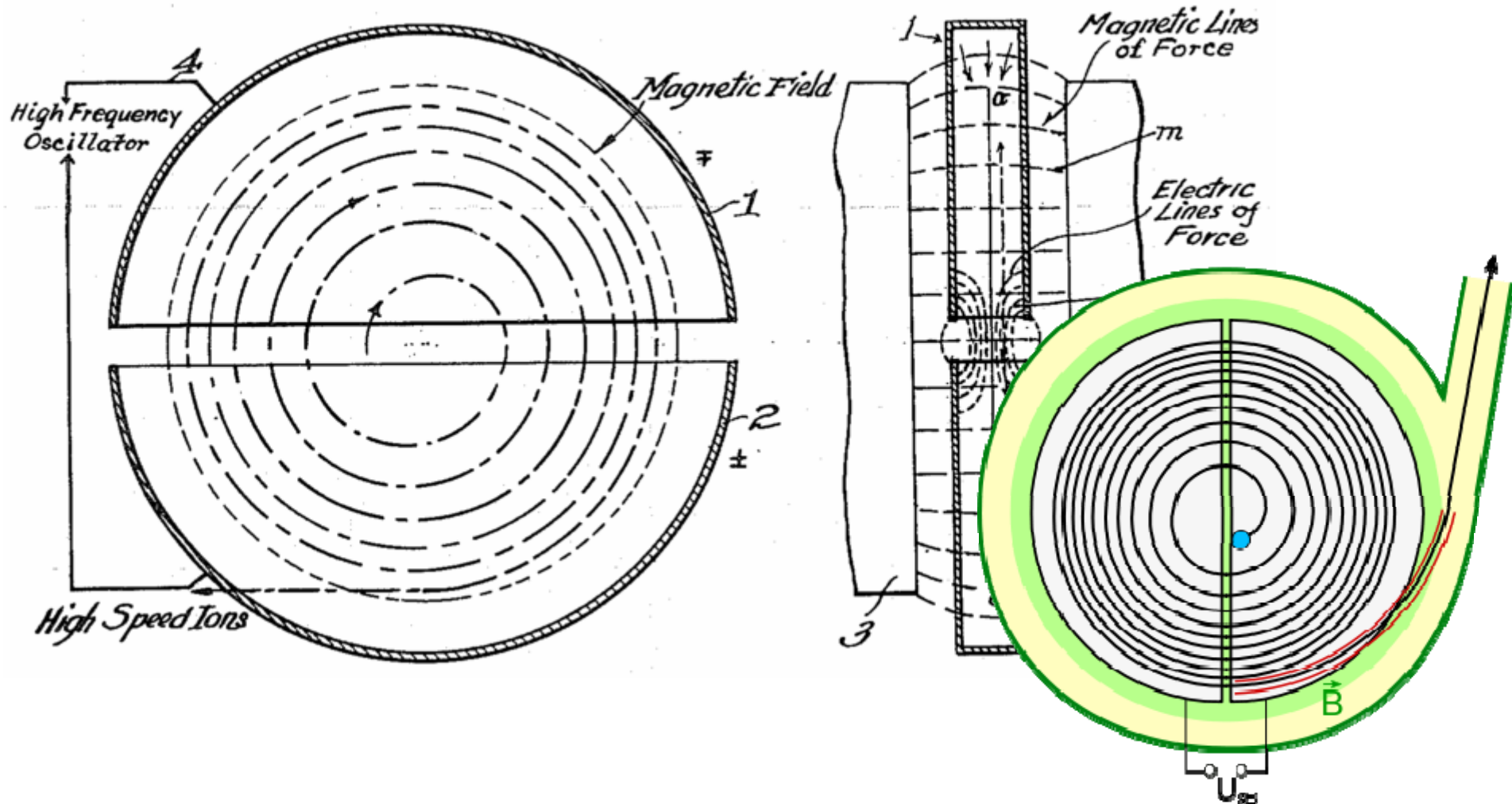
- příprava v cyklotronu



protony urychlené na $T = 5.2 \text{ MeV}$

Zdroje pozitronů

cyklotron



Zdroje pozitronů

cyklotron



UJV Řež: cyklotron U-120M, p^+ , $T = 5.4 - 38$ MeV



Siemens Eclipse,
negativní ionty 11 MeV
výroba ^{18}F , ^{11}C , ^{13}N , ^{15}O , ^{64}Cu

Zdroje pozitronů

LINAC



AccSyS Technology

p^+ 7 MeV

výroba ^{18}F , ^{11}C , ^{13}N , ^{15}O

Zdroje pozitronů

β^+ - zářiče

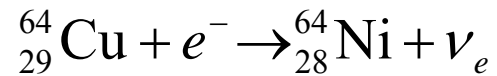
- branching ratio (β^+ vs EC)
- E_{max} (tj. Q -value)
- poločas rozpadu $T_{1/2}$
- sekundární foton

isotope	$T_{1/2}$	e^+ yield	E_{max} (MeV)	secondary γ per e^+	E_γ (MeV)
^{11}C	20.33 min	0.98	0.96	0	-
^{13}N	9.96 min	1	1.20	0	-
^{15}O	123 s	1	1.74	0	-
^{18}F	110 min	0.97	0.64	0	-
^{22}Na	2.6 y	0.9	0.545	1	1.274
^{26}Al	8×10^5 y	0.85	1.17	1	1.81
^{44}Ti	47 y	0.94	1.47	1	1.156
^{64}Cu	12.7 h	0.178	0.653	0	-
^{68}Ge	275 d	0.88	1.90	0.02	1.078
^{82}Sr	23.4 d	1	3.38	0	-

Zdroje pozitronů

^{64}Cu

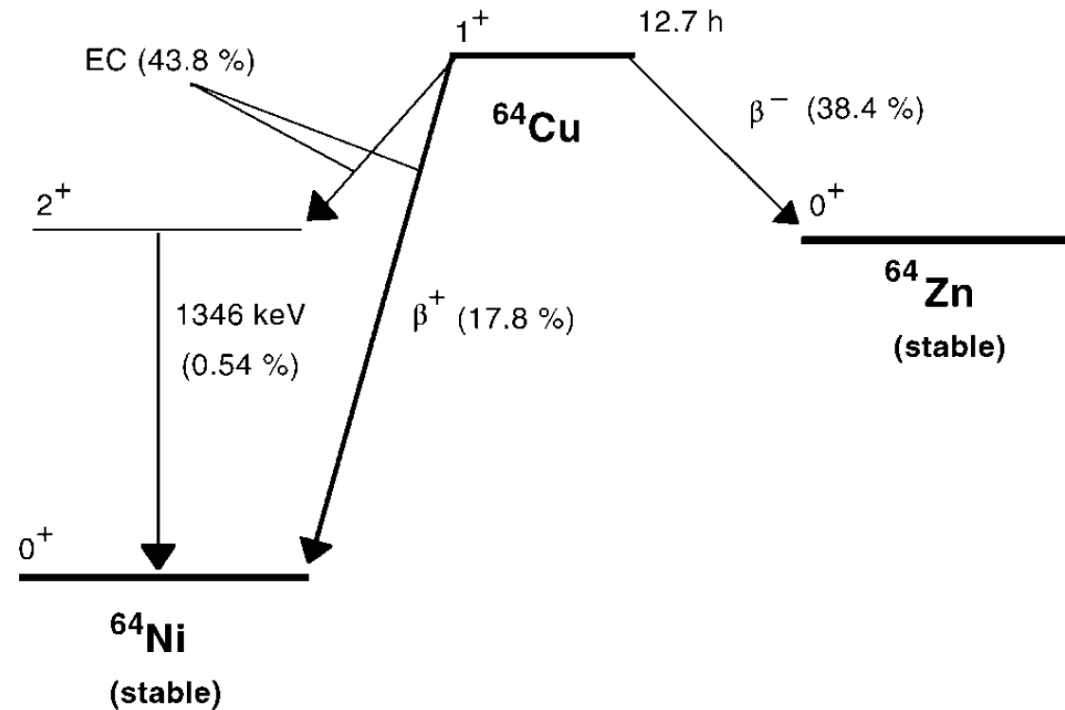
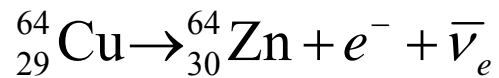
- záchyt e^- (43.8 %)



- β^+ rozpad (17.8 %)



- β^- rozpad (38.4 %)

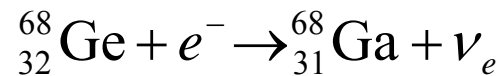


Zdroje pozitronů

$^{68}\text{Ge} / ^{68}\text{Ga}$ generátor

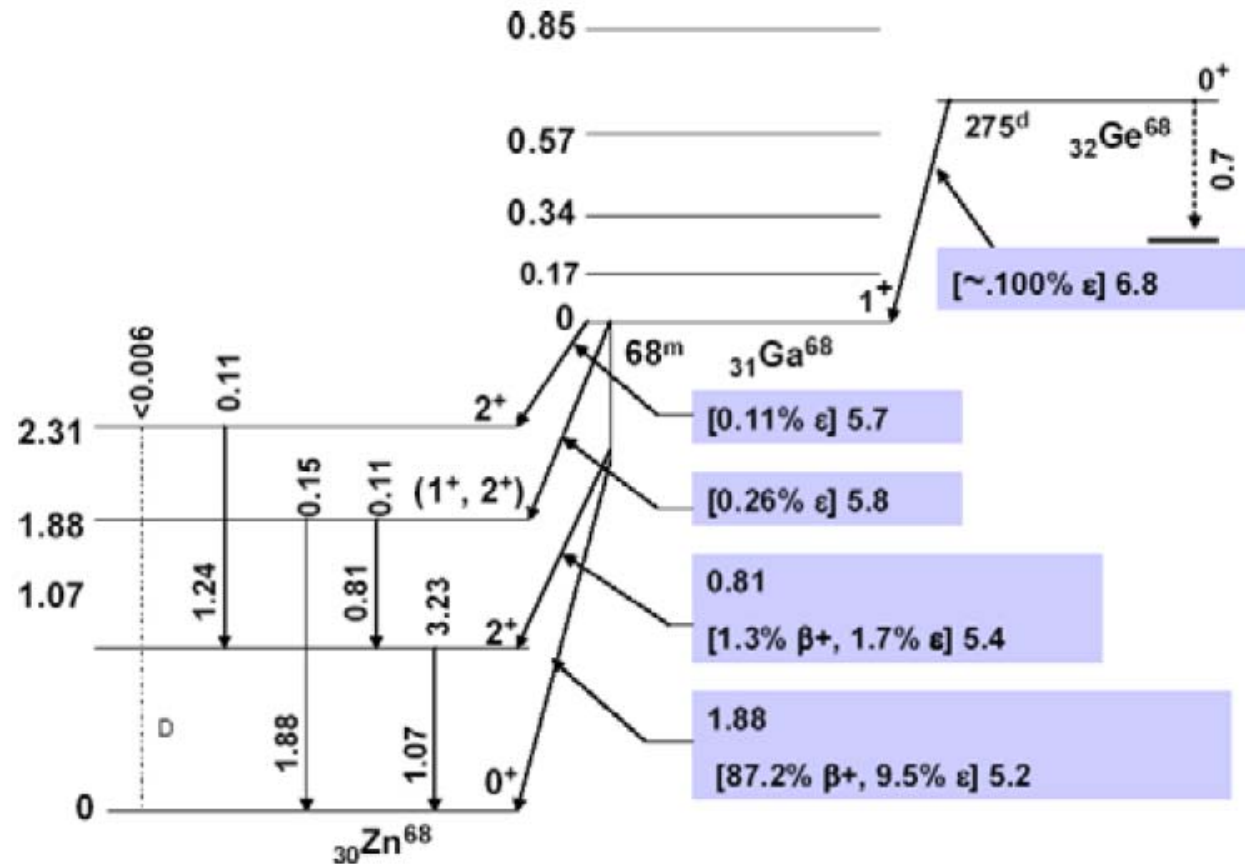
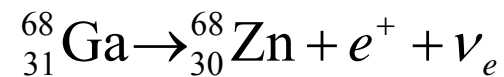
rozpad ^{68}Ge ($T_{1/2} = 275$ d):

- záchyt e^- (100 %)



rozpad ^{68}Ga ($T_{1/2} = 68$ min):

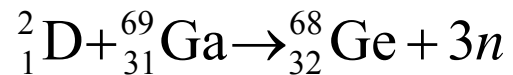
- β^+ rozpad (87.2 %)



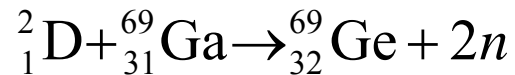
Zdroje pozitronů

příprava ^{68}Ge

cyklotron



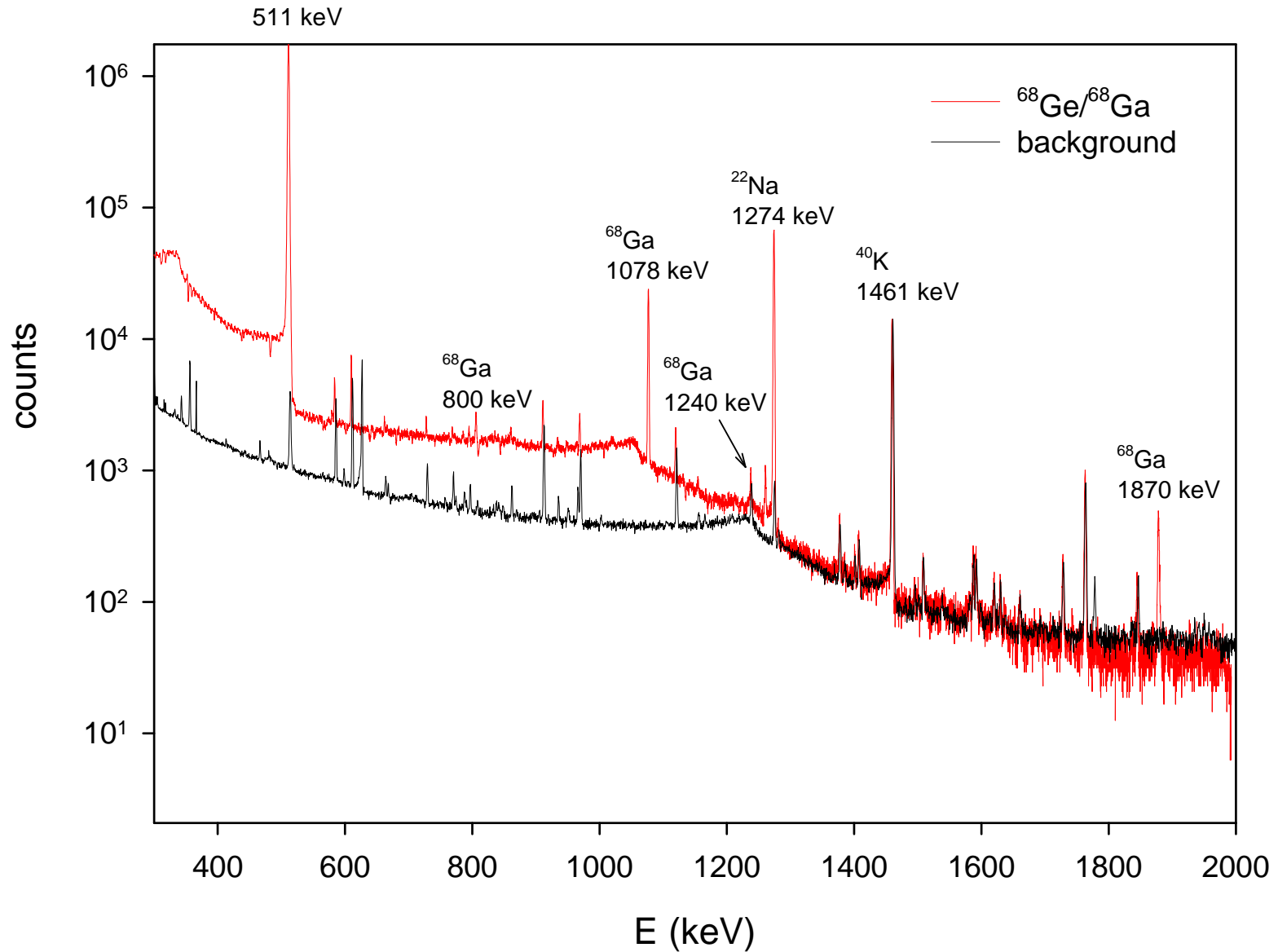
- D ionty urychlené na $T \geq 14$ MeV
- maximální účinný průřez pro $T = 27$ MeV: $\sigma = 550$ mBarn



- pro $T = 27$ MeV $\sigma = 1650$ mBarn
- doba života ^{69}Ge je $T_{1/2} = 39$ h



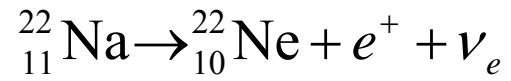
Zdroje pozitronů – $^{68}\text{Ge}/^{68}\text{Ga}$



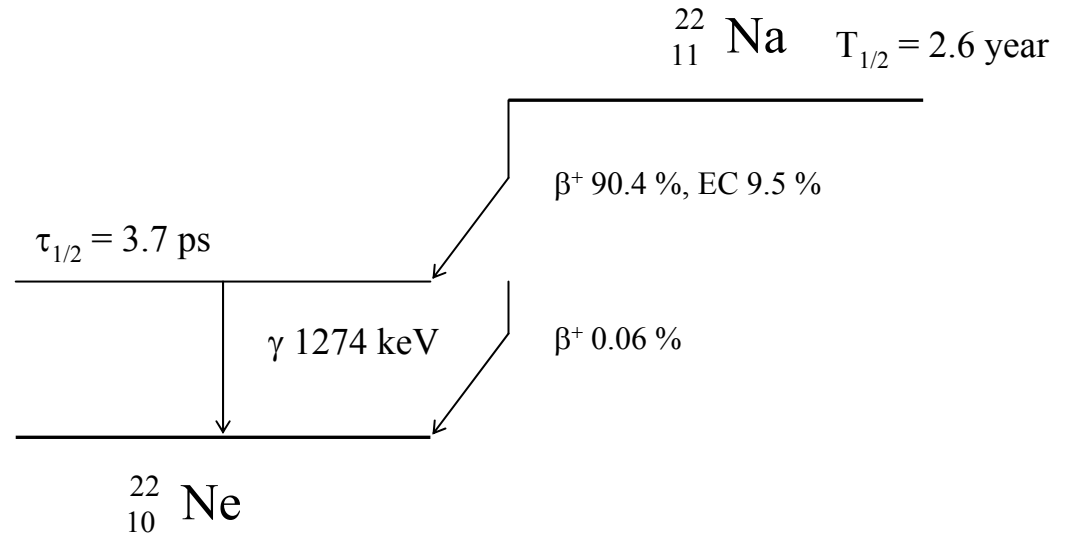
Zdroje pozitronů

^{22}Na

- β^+ rozpad, $T_{1/2} = 2.6 \text{ y}$



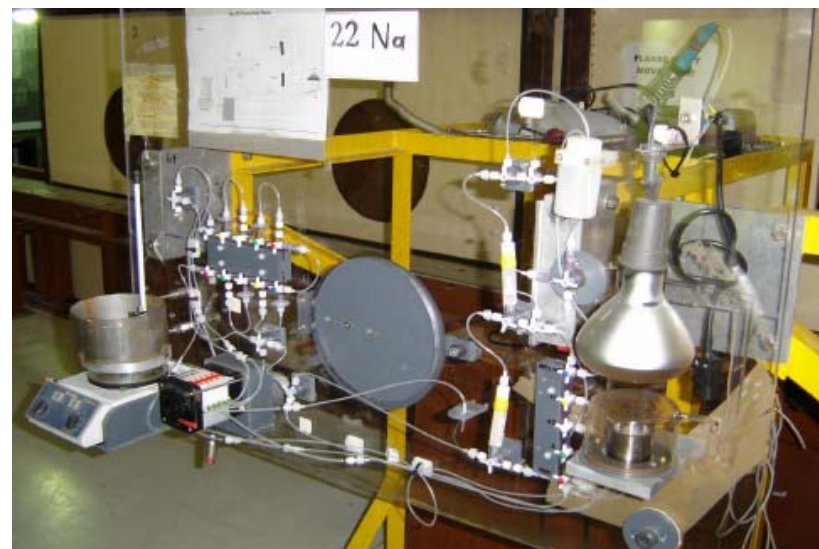
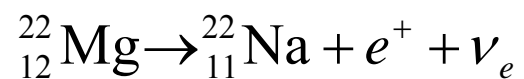
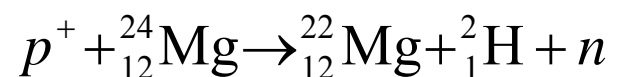
- sekundární γ 1274 MeV



Zdroje pozitronů

příprava ^{22}Na

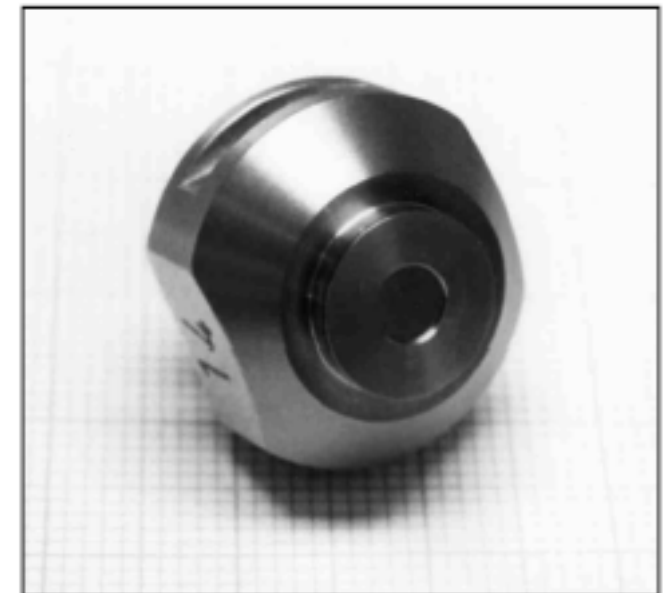
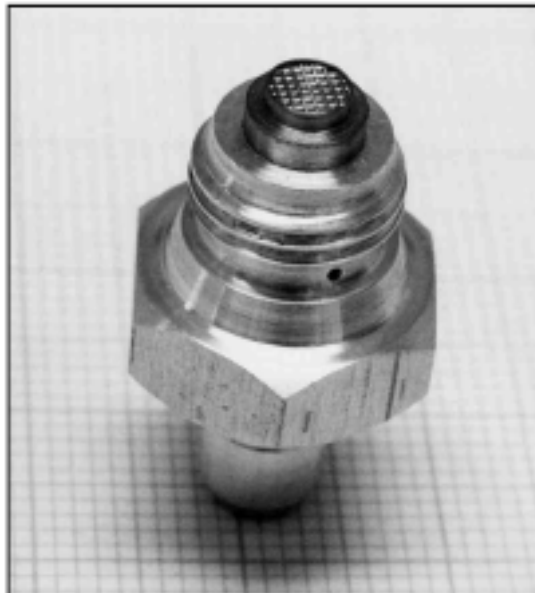
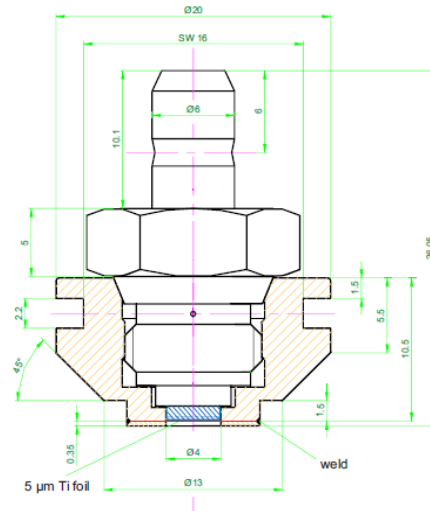
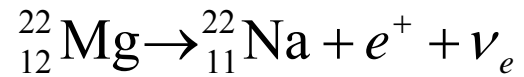
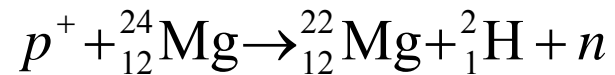
- cyklotron, p^+ , $T = 66 \text{ MeV}$



Zdroje pozitronů

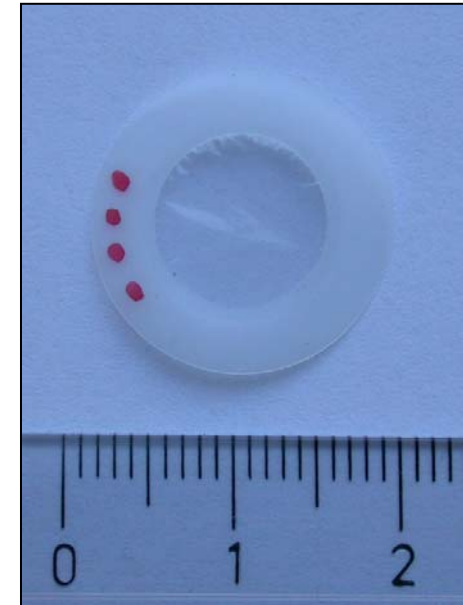
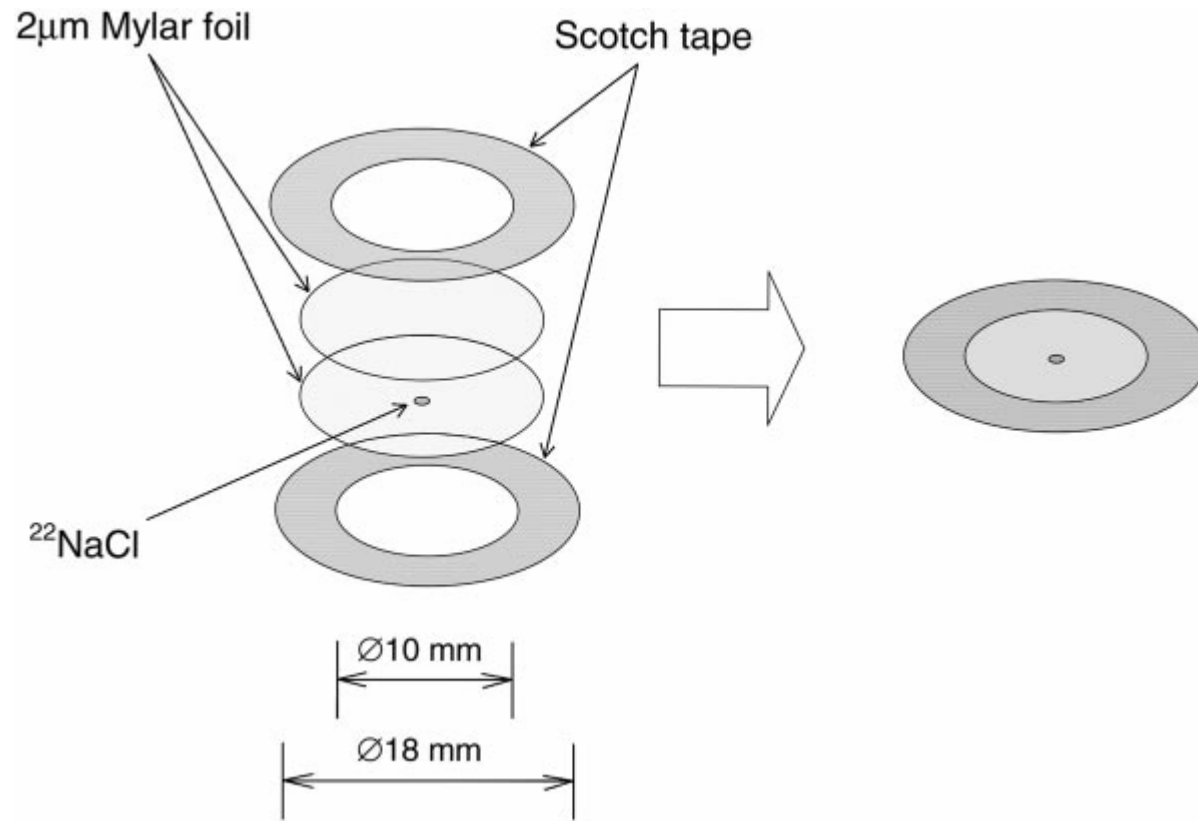
příprava ^{22}Na

- cyklotron, p^+ , $T = 66 \text{ MeV}$



Zdroje pozitronů

^{22}Na pozitronový zdroj



Hloubka průniku pozitronů

pozitrony emitované β^+ zářičem

pravděpodobnost, že pozitron pronikne do hloubky z $P(z) = \alpha e^{-\alpha z}$

$$\alpha [\text{cm}^{-1}] = 16 \frac{\rho [\text{g cm}^{-3}]}{E_{\text{max}}^{1.4} [\text{MeV}]}$$

ρ – hustota materiálu

$$E_{\text{max}} = 0.545 \text{ MeV} \quad (\text{pro } ^{22}\text{Na})$$

střední hloubka průniku $\int_0^{\infty} z P(z) dz = \frac{1}{\alpha}$

Příklad:

$$\text{Mg: } \alpha^{-1} = 154 \text{ } \mu\text{m}$$

$$\text{Al: } \alpha^{-1} = 99 \text{ } \mu\text{m}$$

$$\text{Cu: } \alpha^{-1} = 30 \text{ } \mu\text{m}$$

Termalizace pozitronu

- rychlost ztáty energie při pronikání do materiálu (stopping power): $S = -\frac{dE}{dx}$
- **doba termalizace:**

$$\left. \begin{aligned} dt &= \frac{dx}{v} \\ v &= \sqrt{\frac{2E}{m}} \end{aligned} \right\} dt = \sqrt{\frac{m}{2}} \frac{dx}{\sqrt{E}} = -\sqrt{\frac{m}{2}} \frac{dE}{S\sqrt{E}}$$

$$t = -\sqrt{\frac{m}{2}} \int_{E_i}^{E_f} \frac{dE}{S\sqrt{E}}$$

Termalizace pozitronu

- snížení kinetické energie pozitronu $100 \text{ keV} \rightarrow kT = 0.03 \text{ eV}$
- **$E > 100 \text{ eV}$:**
 - nepružné srážky a elektrony
 - elastický rozptyl na jádrech atomů
- **$0.1 \text{ eV} < E < 100 \text{ eV}$:**
 - excitace elektronů
- **$E < 0.1 \text{ eV}$:**
 - rozptyl na fononech

Termalizace pozitronu

- $E > 100$ eV:

- nepružné srážky a elektrony
- elastický rozptyl na jádrech atomů

$$t_s = -\sqrt{\frac{m_e}{2}} \int_{E_i}^{E_m} \frac{dE}{S_S \sqrt{E}}$$

- pro $E_m \sim 100$ eV

$$t_s [\text{ps}] = \frac{17.2}{\rho [\text{g cm}^{-3}]} E_{\text{max}}^{1.2} [\text{MeV}] \quad t_s \leq 1 \text{ ps}$$

ρ – hustota

E_{max} = maximální kinetická energie e^+

Termalizace pozitronu

- **0.1 eV < E < 100 eV:**

- excitace elektronů
- kovy – excitace vodivostních e^-

$$S_R = \frac{2\pi m_e}{105 \hbar} \sqrt{\frac{2}{m_e} \frac{E^{5/2}}{E_F}}$$

$$t_R = -\sqrt{\frac{m_e}{2}} \int_{E_m}^{E_c} \frac{dE}{S_R \sqrt{E}}$$

- pro $E_c \ll E_m$ $t_R = \frac{105 \hbar E_F}{8\pi E_c^2}$

E_F = Fermiho energie

Termalizace pozitronu

- $E < 0.1$ eV:

- rozptyl na fononech

$$S_{Ph} = \frac{2}{\pi} \frac{m_e^3 W^2}{\rho \hbar^4} E$$

ρ = hustota

W = deformační potenciál $W = bE_F$ $b = 2/5 - 2/3$

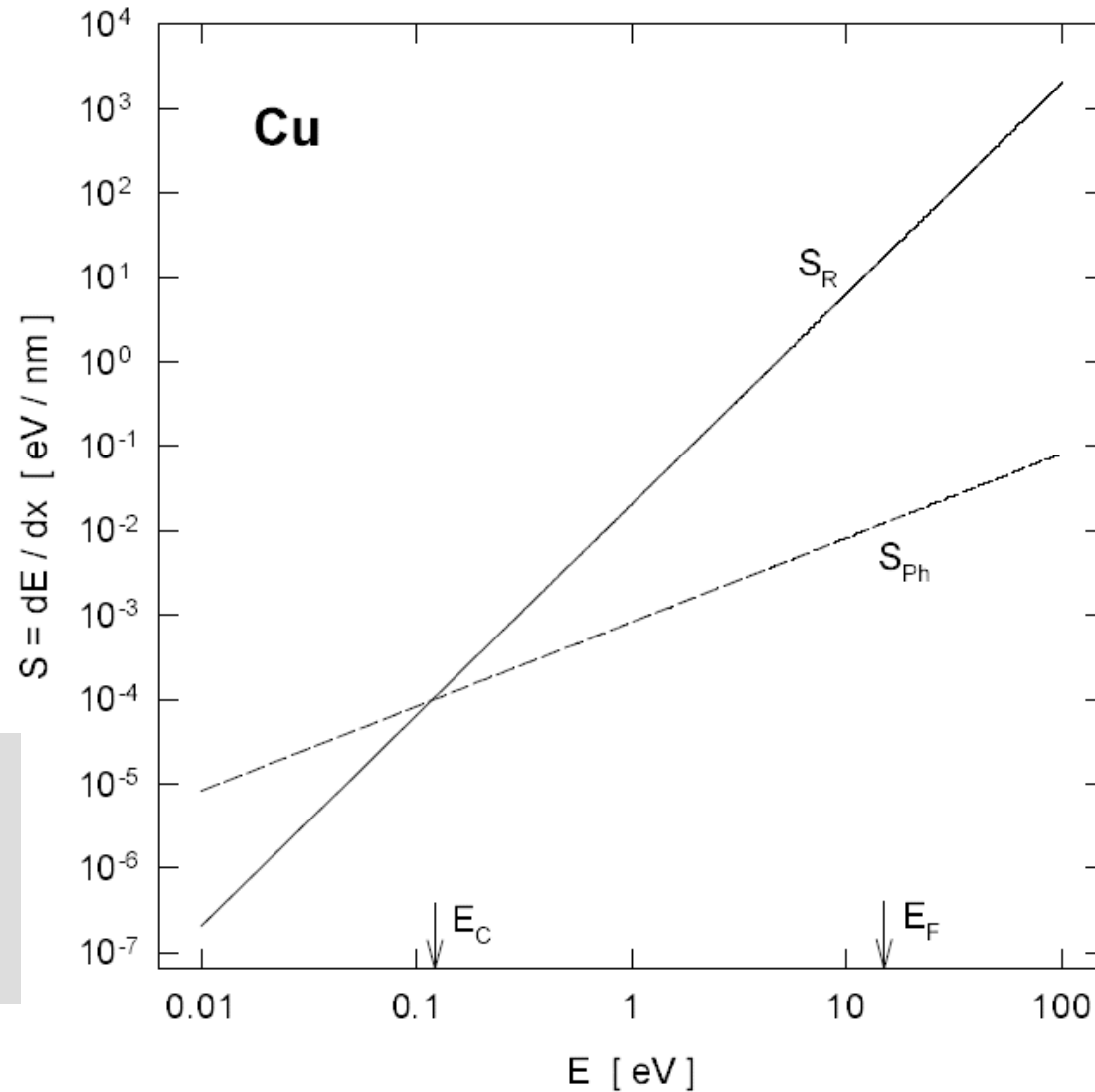
Termalizace pozitronu

$$S_{Ph} = \frac{2 m_e^3 W^2}{\pi \rho \hbar^4} E$$

$$S_R = \frac{2\pi m_e}{105 \hbar} \sqrt{\frac{2}{m_e}} \frac{E^{5/2}}{E_F}$$

$$S_{Ph}(E_c) = S_R(E_c)$$

$$E_c = \left(\frac{105 b^2 m^{5/2} E_F^3}{\sqrt{2} \pi^2 \rho \hbar^3} \right)^{2/3}$$



Termalizace pozitronu

- $E < 0.1$ eV:

- rozptyl na fononech

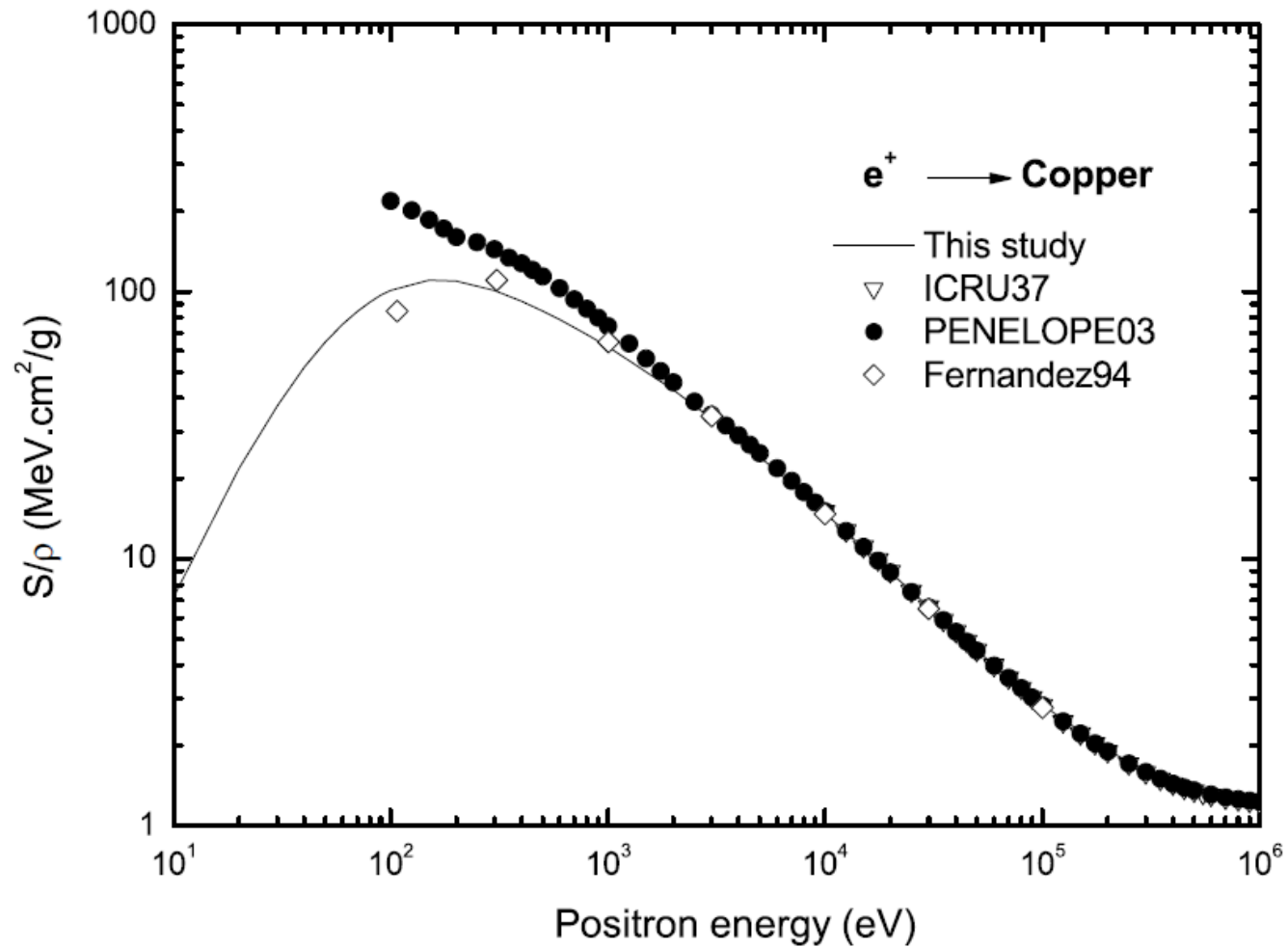
$$t_{Ph} = -\sqrt{\frac{m_e}{2}} \int_{E_c}^{E_f} \frac{dE}{S_{Ph} \sqrt{E}} = 4t_R \left(\sqrt{\frac{E_C}{\frac{3}{2}kT}} - 1 \right)$$

- celková doba termalizace $t = t_S + t_R + t_{Ph}$

- př. Cu: $t_S = 0.93$ ps, $t_R = 2.86$ ps, $t_{Ph} = 8.92$ ps, $t = \mathbf{12.74}$ ps

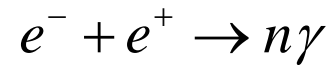
Termalizace pozitronu

- př. Cu: $t_S = 0.93$ ps, $t_R = 2.86$ ps, $t_{Ph} = 8.92$ ps, $t = 12.74$ ps



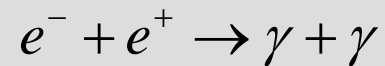
Anihilace pozitronů

- anihilace pozitronu

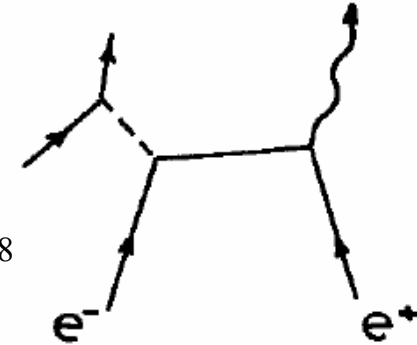


- $n = 1$ vylučuje zákon zachování hybnosti (je to možné pouze v přítomnosti další částice)
- $n > 1$ pro každý další foton je pravděpodobnost menší faktorem $\alpha = 1/137$

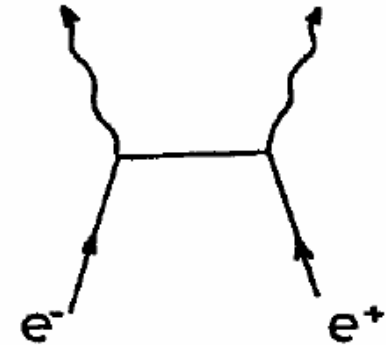
- dominantní proces $n = 2$



$$\sigma_{(1)} / \sigma_{(2)} \approx \alpha^4 \approx 10^{-8}$$

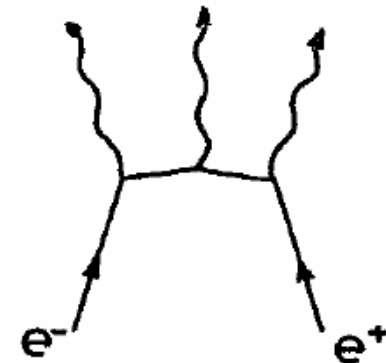


2 γ



3 γ

$$\sigma_{(3)} / \sigma_{(2)} \approx \alpha \approx 10^{-2}$$



Anihilace pozitronů

- účinný průřez pro 2 γ anihilaci pozitronu (Dirac 1930)

$$\sigma_{(2)} = \frac{\pi r_e^2}{\gamma + 1} \left\{ \frac{\gamma^2 + 4\gamma + 1}{\gamma^2 - 1} \ln(\gamma + \sqrt{\gamma^2 - 1}) - \frac{\gamma + 3}{\sqrt{\gamma^2 - 1}} \right\}$$

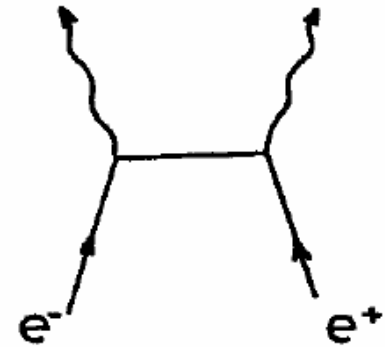
$$\gamma = \frac{1}{\sqrt{1 - \frac{v^2}{c^2}}}$$

- klasický poloměr elektronu $r_e = e^2 / m_0 c^2$

- pro $v \ll c$ $\sigma_{(2)} = \frac{\pi r_e^2 c}{v}$

- Pravděpodobnost anihilace $P_{(2)} = \sigma_{(2)} v n_e = \pi r_e^2 c n_e$

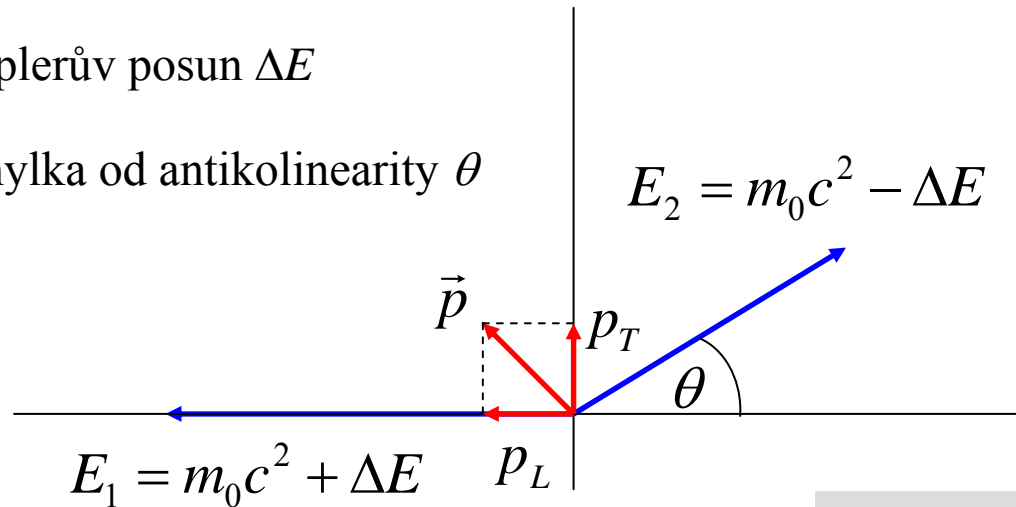
n_e – elektronová hustota



Anihilace pozitronů – pozorovatelné

- Dopplerův posun ΔE

- odchylka od antikolinearity θ



- zákon zachování hybnosti

$$p_L = \frac{E_1}{c} - \frac{E_2}{c} \cos \theta$$

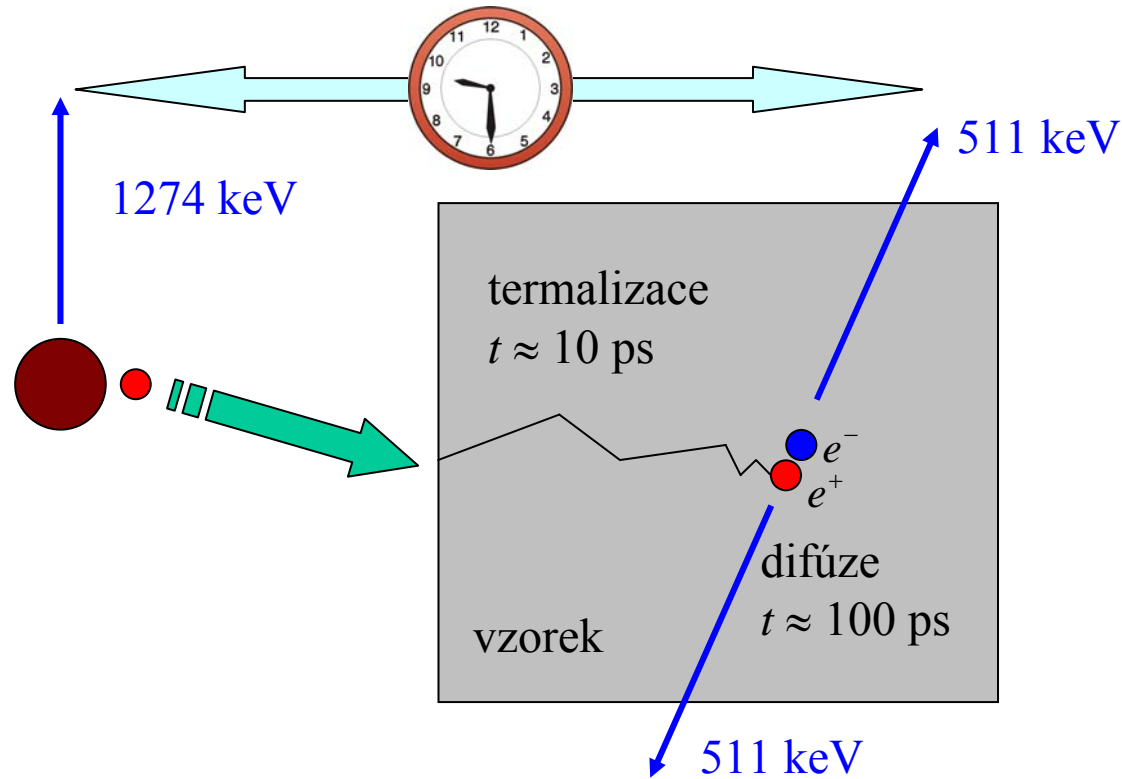
$$\cos \theta \approx 1$$

- Dopplerův posun energie $\Delta E = \frac{1}{2} p_L c$

$$p_T = \frac{E_2}{c} \sin \theta \quad \sin \theta \approx \theta \quad E_2 \approx m_0 c^2$$

- odchylka od antikolinearity $\theta = \frac{p_T}{m_0 c}$

Doba života pozitronů



- Pravděpodobnost anihilace

$$P_{(2)} = \sigma_{(2)} v n_e = \pi r_e^2 c n_e$$

- anihilační rychlost: $\lambda = \pi r_e^2 c \int n_-(\vec{r}) n_+(\vec{r}) \gamma(n_-) d\vec{r}$

- doba života pozitronů: $\tau = \frac{1}{\lambda}$
- enhancement factor $\gamma(n_-)$

Anihilace pozitronů – pozorovatelné

- **doba života pozitronů LT (τ, E)**
 - **úhlové korelace ACAR (τ, θ)**
- } scintilační detektory
- **Dopplerovské rozšíření DB (E, τ)** polovodičové detektory
 - **scintilační detektory (scintilátor + fotonásobič)**
 - výborné časové rozlišení
 - horší energetické rozlišení
 - **polovodičové detektory (HPGe)**
 - vynikající energetické rozlišení
 - špatné časové rozlišení